

# Einführung in die numerische Modellierung

*... von Strömung und Sedimenttransport*

*... in offenen Gerinnen*

*... in einem Gebirgsland*

*... von Naturge..*

*... mit BASEM...*

**Ziel: Begriffe einführen**

**Gleichungen und numerische Probleme erläutern**

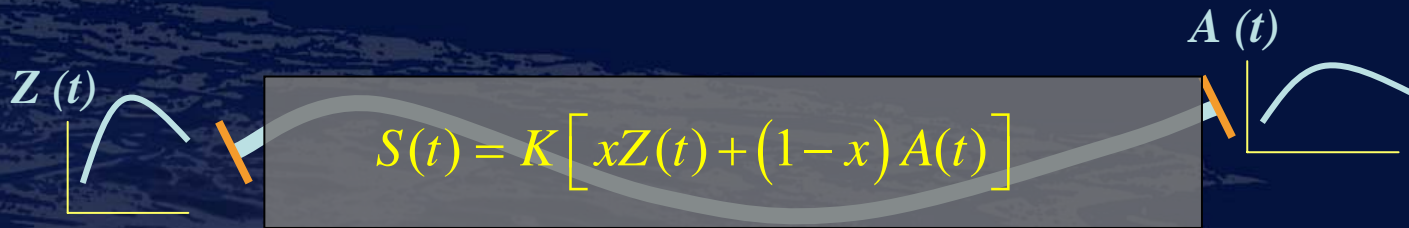
**Schwierigkeiten aus Sicht des Anwenders**

**Fokus: Sedimenttransport**



# Flood-Routing-Verfahren

## Hydrologische Verfahren



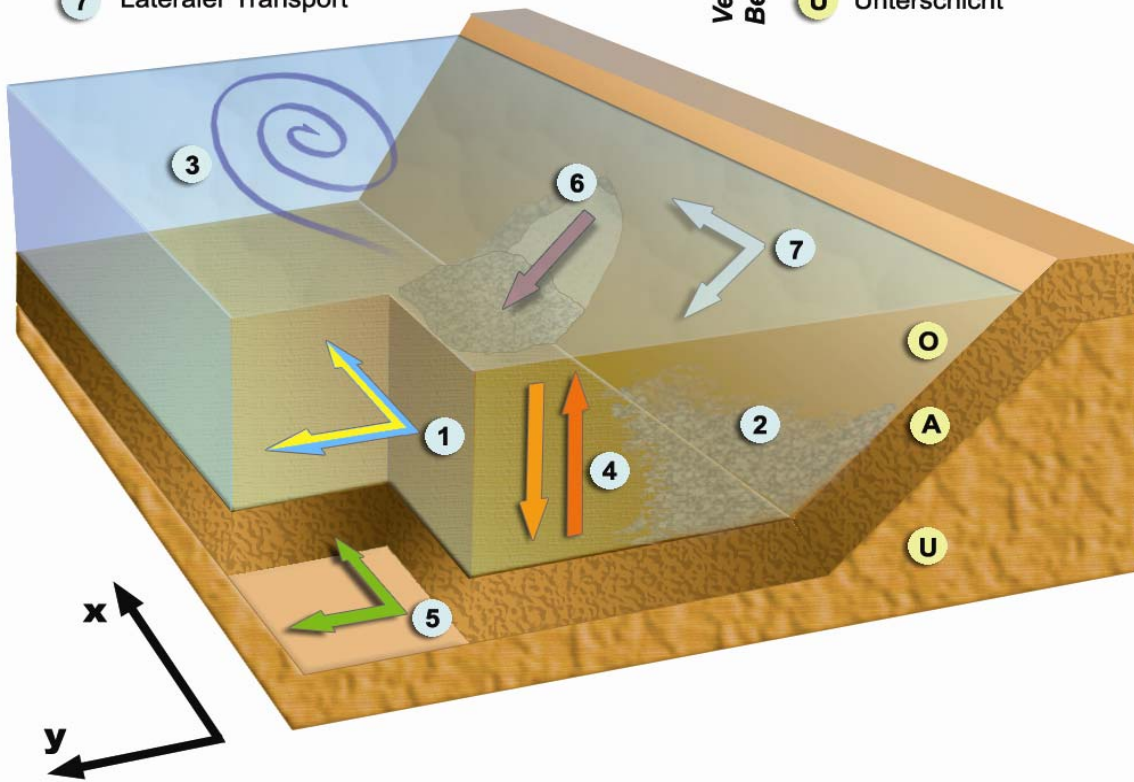
## Hydrodynamische Verfahren



## Prozesse

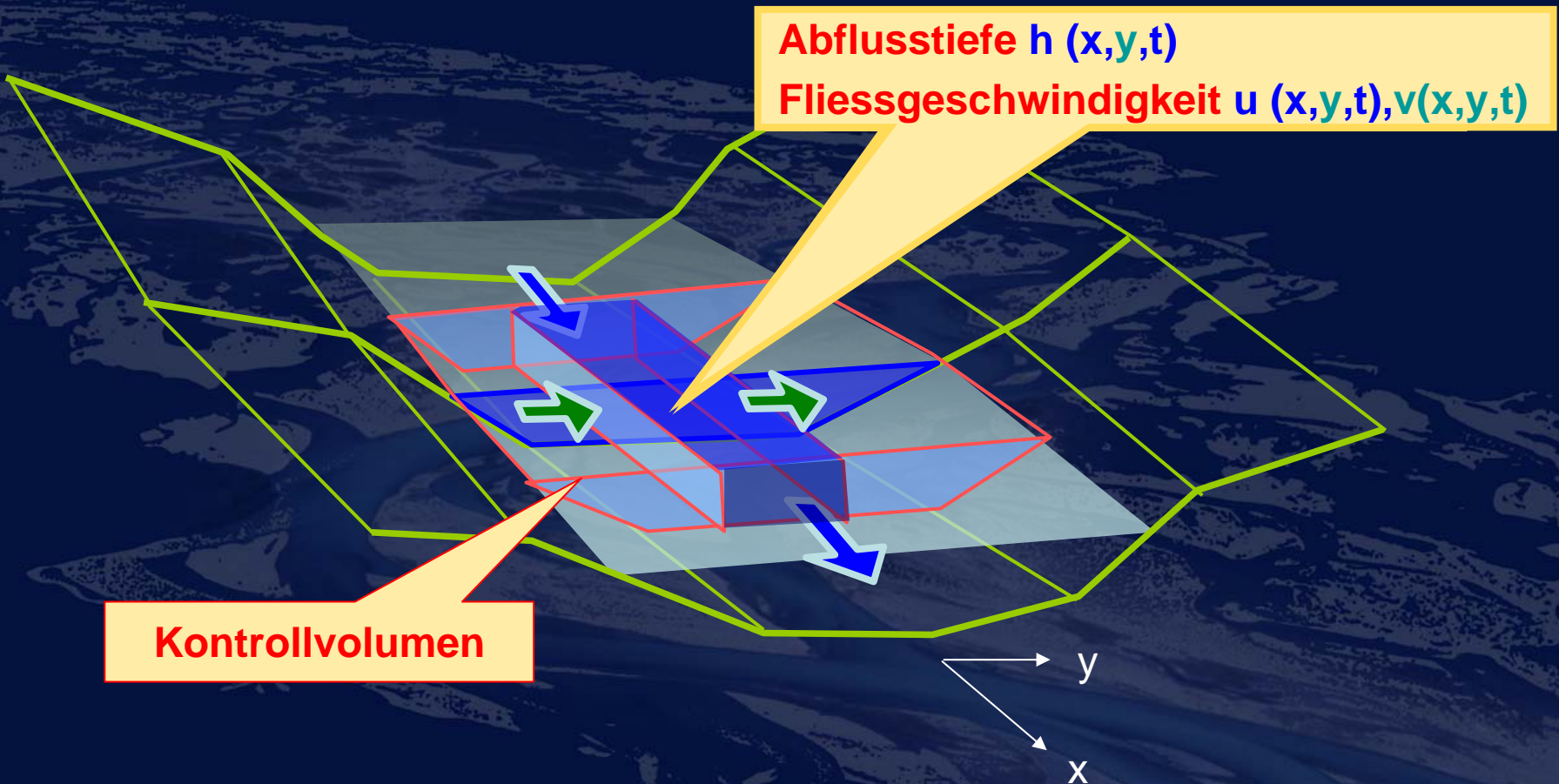
- Abgebildete Prozesse**
- 1 Strömung und Suspensionstransport
  - 2 Gerinnerauhgigkeit
  - 3 Innere Reibung, Turbulenz
  - 4 Sedimentation, Resuspension
  - 5 Geschiebetransport
  - 6 Gravitationsinduzierter Transport
  - 7 Lateraler Transport

- Vertikale Betrachtung**
- O Oberschicht
  - A Austauschschicht
  - U Unterschicht



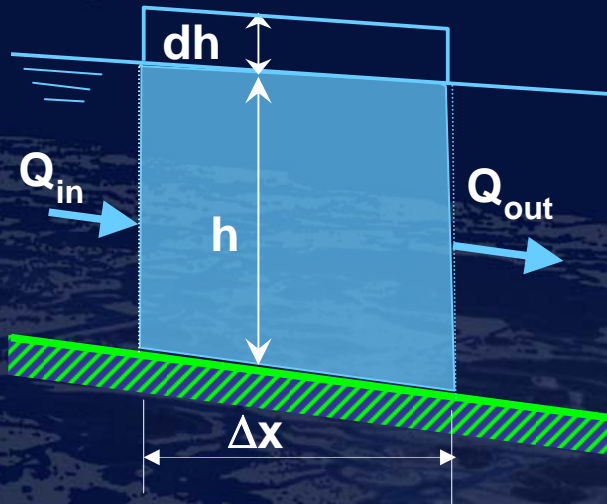


1d resp. 2d





# Massenerhaltung



h: Abflusstiefe [m]  
 Q: Volumenfluss [m<sup>3</sup>/s]

$$dh \cdot B \cdot \Delta x = (Q_{in} - Q_{out}) \cdot \Delta t$$

Volumenänderung in der Zeit  $\Delta t$

B: Breite [m]  
 A: Durchströmte Fläche [m<sup>2</sup>/s]

$$\frac{\partial A}{\partial t} + \frac{\partial Q}{\partial x} = q_{lat}$$

- Bietet kaum Probleme
- Lässt sich leicht überprüfen



# Impulserhaltung

$$m \cdot b = \frac{d(mv)}{dt} = \sum \text{Kräfte}$$

$$\frac{\Delta I}{\Delta t} = \Delta I_f \quad +\Delta P \quad +G - R$$

Zeitliche Änderung  
des Impulses

Konvektive  
Beschleunig.

Druck

Gewicht

Reibung

$$-S_b + S_f = 0$$

$$\frac{\partial}{\partial x} \left( \frac{Q^2}{A} \right) + gA \left( \frac{\partial h}{\partial x} - S_b + S_f \right) = 0$$

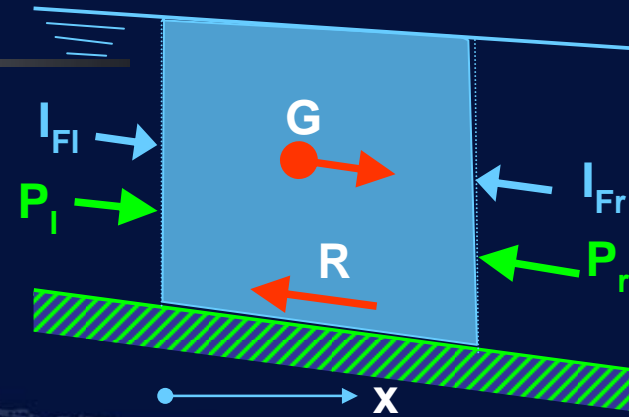
$$\frac{\partial Q}{\partial t} + \frac{\partial}{\partial x} \left( \frac{Q^2}{A} \right) + gA \left( \frac{\partial h}{\partial x} - S_b + S_f \right) = 0$$

Normalabfluss (Strickler)

$$v = k_{st} h^{2/3} \sqrt{S_f}$$

Staukurve:  $Q(t) = \text{const.}$

De Sain-Venant Gleichung



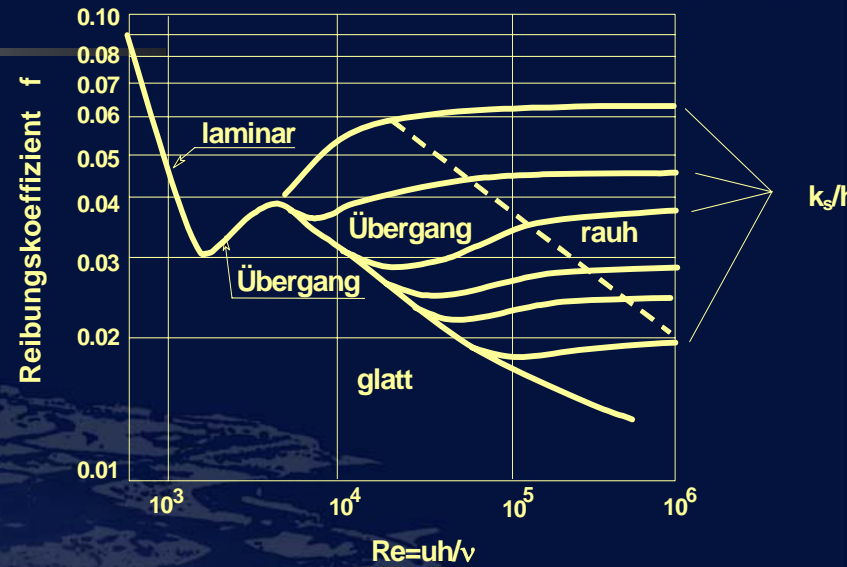
**Problem: Nichtlinearität**  
**Schliessbedingung**



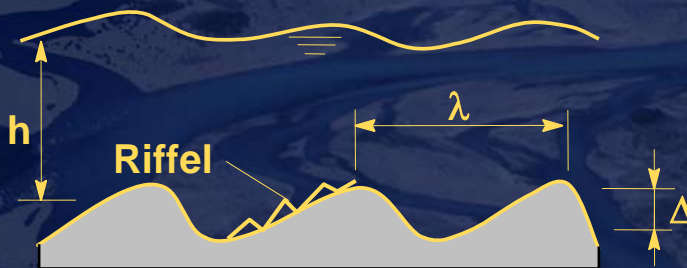
# Reibung

**Kornreibung:**  $c_f = 5.75 \log \left( \frac{12h}{k_s} \right)$

$k_s = (1.5 - 4.)d_{90}$



# Formreibung:



$\lambda$ : Wellenlänge der Düne

$\Delta$ : Wellenhöhe

$\Delta/\lambda$ : Steilheit





# Feststofftransport

## Gliederung nach Transportmechanismen

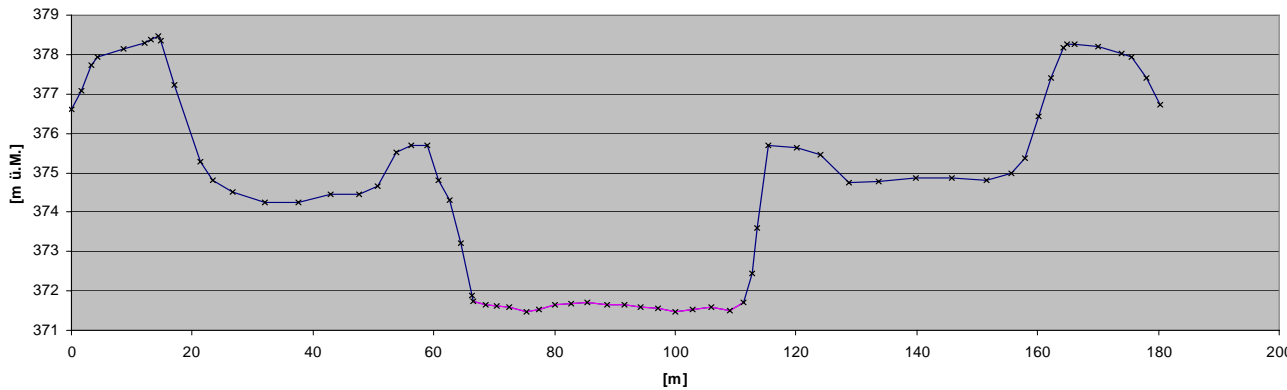




# Geschiebe- vs. Schwebstofftransport



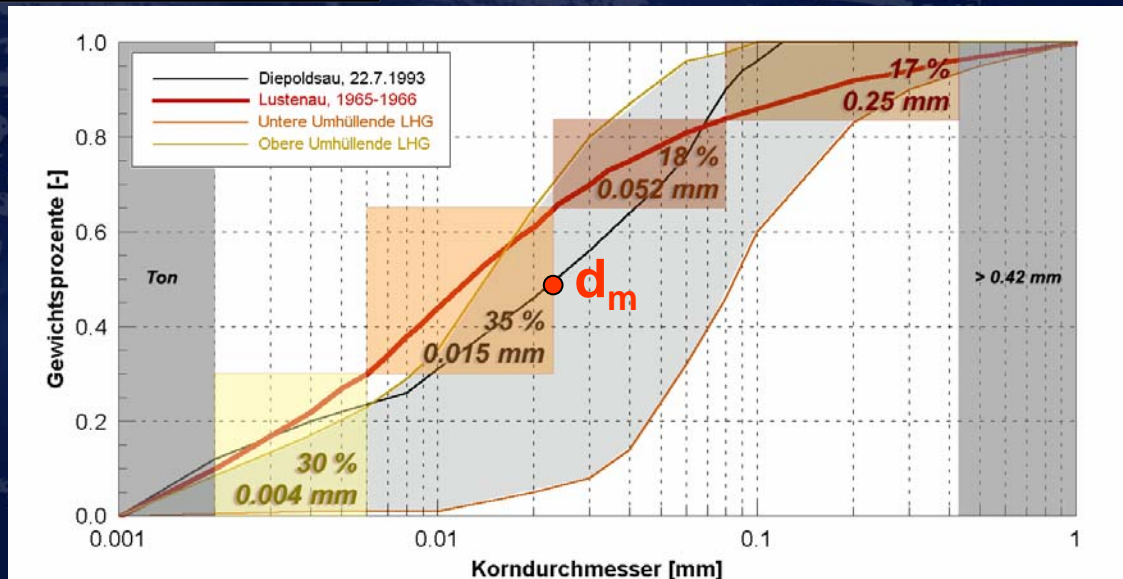
Altes Thurquerprofil



Übergang fließend > Murgang

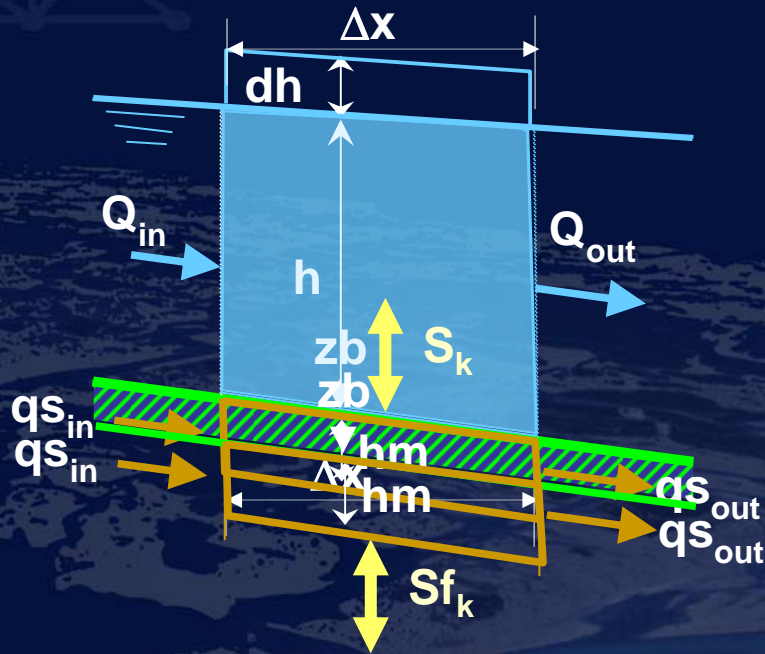


# Mehrkornmodell





# Massenerhaltung im Activelayer



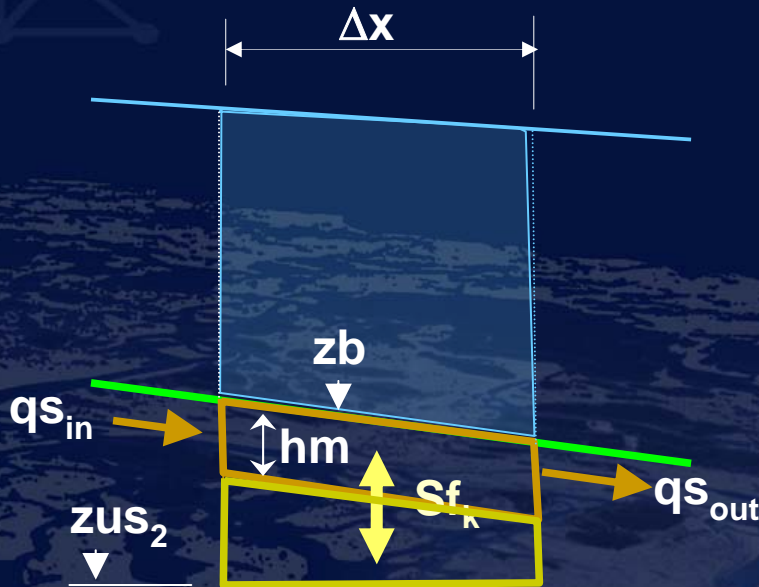
- $\beta_k$  %-Volumen der Fraktion  $k$  am Gesamtvolumen [-]
- $p$  Porosität [-]
- $S_k$  Austausch Suspension [ $\text{ms}^{-1}$ ]
- $Sf_k$  Austausch Boden [ $\text{ms}^{-1}$ ]
- $Sl_k$  lokaler Zu- oder Wegfluss [ $\text{ms}^{-1}$ ]

$$(1-p) \frac{\partial(\beta_k hm)}{\partial t} + \frac{\partial qs_k}{\partial x} + S_k - Sf_k - Sl_k = 0$$

$k$  Sortiergleichungen: Bestimmungsgleichung für  $\beta_k$



# Bestimmungsgleichung für $z_b$



- $z_b$ : Sohlenkote [m]
- $q_s$ : Geschiebefluss [ $m^3/ms$ ]
- $hm$ : Dicke des Activelayers [m]
- $S_k$ : Austausch Suspension [ $ms^{-1}$ ]
- $Sf_k$ : Austausch Boden [ $ms^{-1}$ ]
- $Sl_k$ : lokaler Zu- oder Wegfluss [ $ms^{-1}$ ]

$$(1-p) \frac{\partial (z_b - hm - zus_2)}{\partial t} + \sum_{k=1}^{nk} Sf_k = 0$$

$$(1-p) \frac{\partial z_b}{\partial t} + \sum_{k=1}^{nk} \left( \frac{\partial q_{s_k}}{\partial x} + S_k + Sl_k \right) = 0$$

Bodenevolutionsgleichung  
Exnergleichung



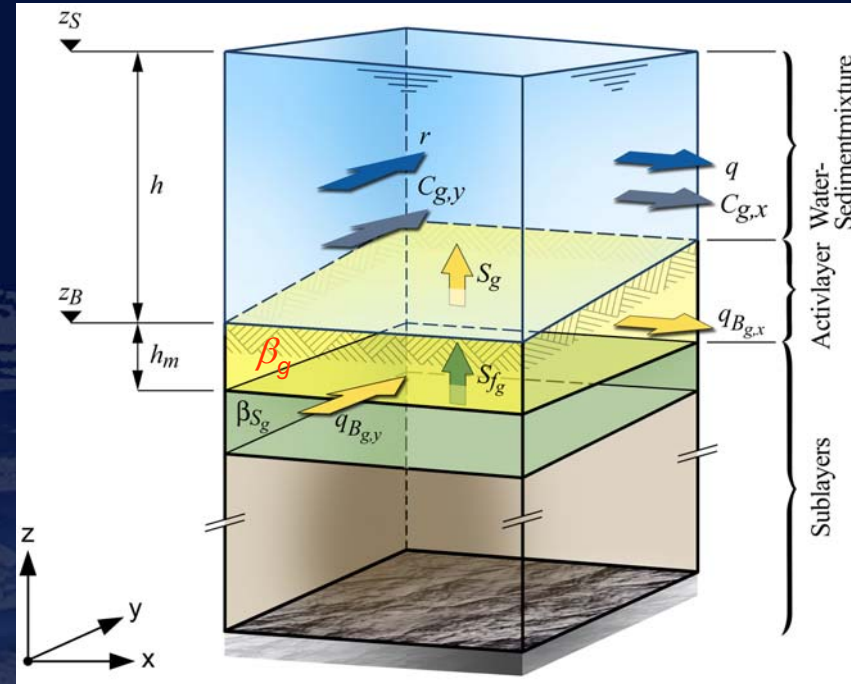
## Gesuchte Grössen

### Primäre Unbekannte

- **Wasser**  $h$   $q$   $r$
- **Sediment**  $C_g$   $z_b$   $\beta_g$

### Sekundäre Unbekannte

- **Geschiebetriebrieb**  $q_{bx}$   $q_{by}$
- **Austauschschicht**  $h_m$
- **Quellterme**  $S_g$   $S_{fg}$



Sekundäre Unbekannte sind Funktionen der primären Variablen

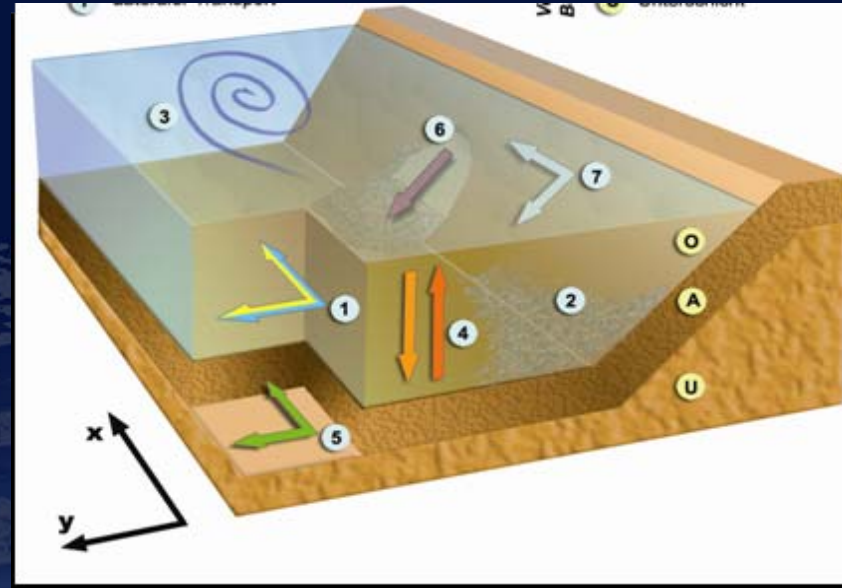
$$F(h, q, r, z_b, \beta_g, C_g)$$



# Empirische Schliessbedingungen

## Geschiebetrieb

$$qsx_k = qsx_{xk} + qsx_{yk} + qsx_{gk}$$



$qsx_{xk}$ : Geschiebetrieb aufgrund der Strömung in x-Richtung

$qsx_{yk}$ : lateraler Geschiebetrieb aufgrund Strömung in y-Richtung

$qsx_{gk}$ : Rein gravitationsinduzierter Feststofftransport



## Schliessbedingungen: Geschiebetransport

Geschiebetransport aufgrund Strömung in x-Richtung

$$qsx_{xk} = \beta_k (1 - \varphi_k) \xi_k qb_k$$

$$qb_k \sim (\tau - \tau_{cr})^{3/2}$$

$$\tau_{cr} = \theta_{cr} (\rho_s - \rho_w) g d_m$$

$$\tau_{cr} = \xi_k k_\beta k_\gamma \tau_{cr,h}$$

$$\xi_k = 0.85 \frac{d_m}{d_k}$$

$$\varphi_k = 0.25 + 0.325 \ln\left(\frac{u_*}{w_k}\right)$$

$$w_k = F(d_k, \nu, \rho, C)$$

$qb_k$ : Transportkapazität (z.B. Meyer-Peter)

$\beta_k$ : Anteil der Kornklasse  $k$

$\varphi_k$ : Faktor für Zuweisung zur Transportart  
(Geschiebe/Suspension)

$\xi_k$ : Hiding Function

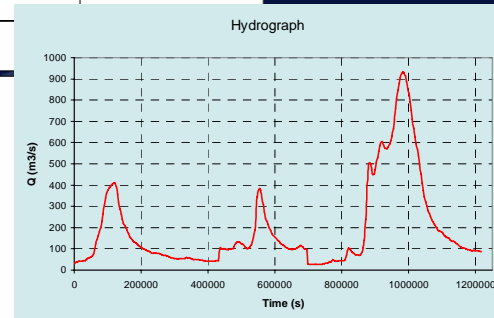
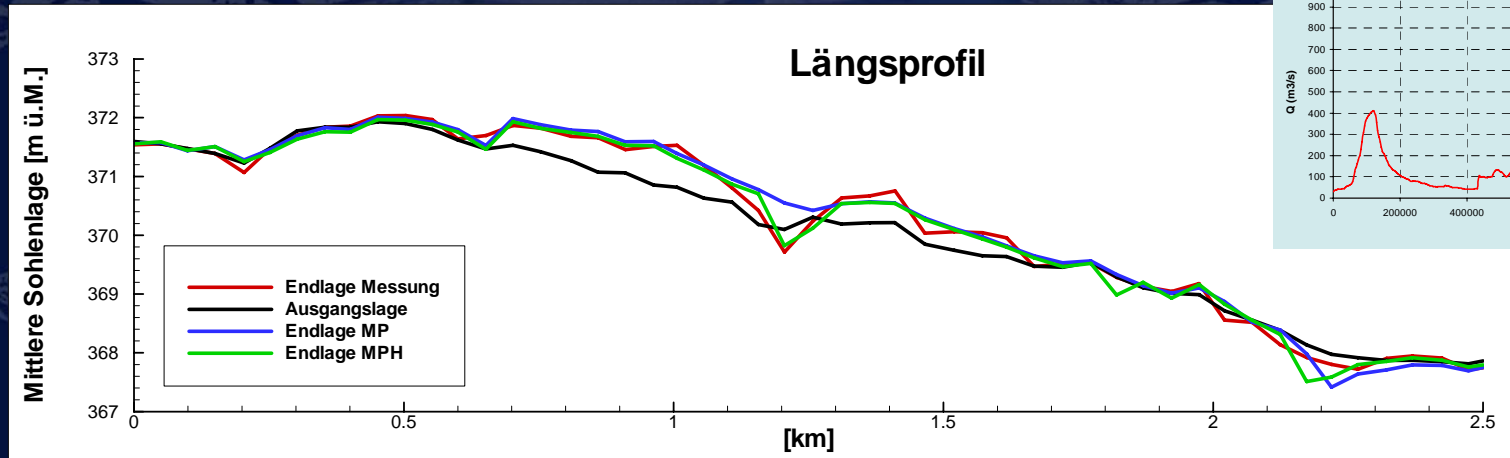
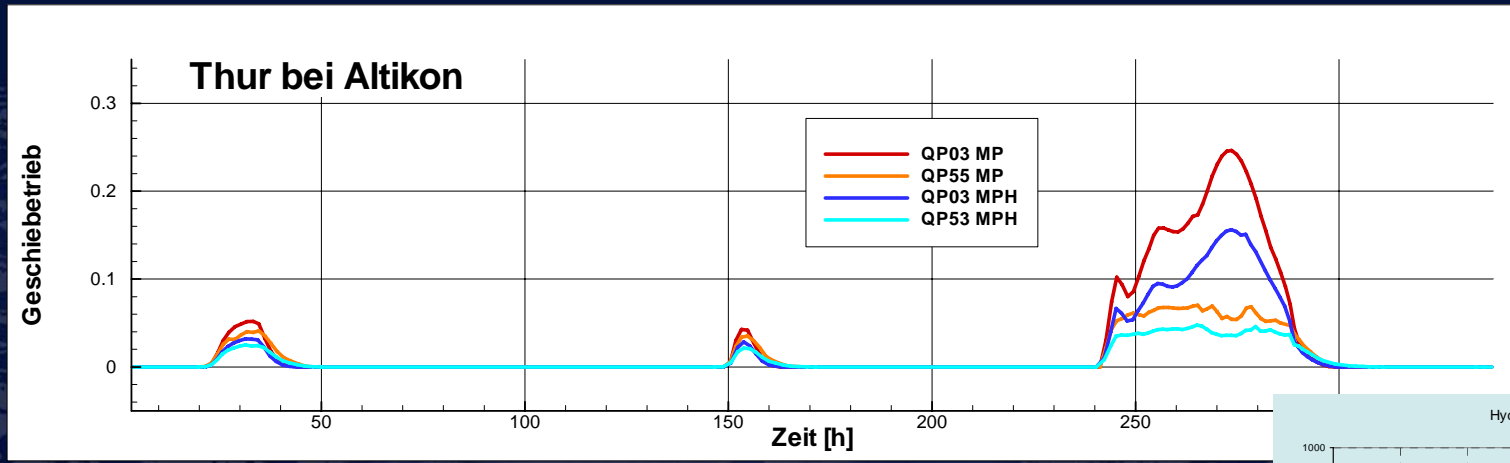
$w_k$ : Sinkgeschwindigkeit

→ Kalibrierung ?



# Beispiel zum Thema Geschiebetriebformel

## Meyer-Peter vs. Meyer-Peter-Hunziker



→ Was ist richtig ?



## Gleichungen → Lösung

**Modell ⇒ Ausschnitt der Wirklichkeit**

- **Zeitlich**

**Anfangsbedingungen:  $h(t_0, x, y)$ ,  $q(t_0, x, y)$ .....**

- **Räumlich**

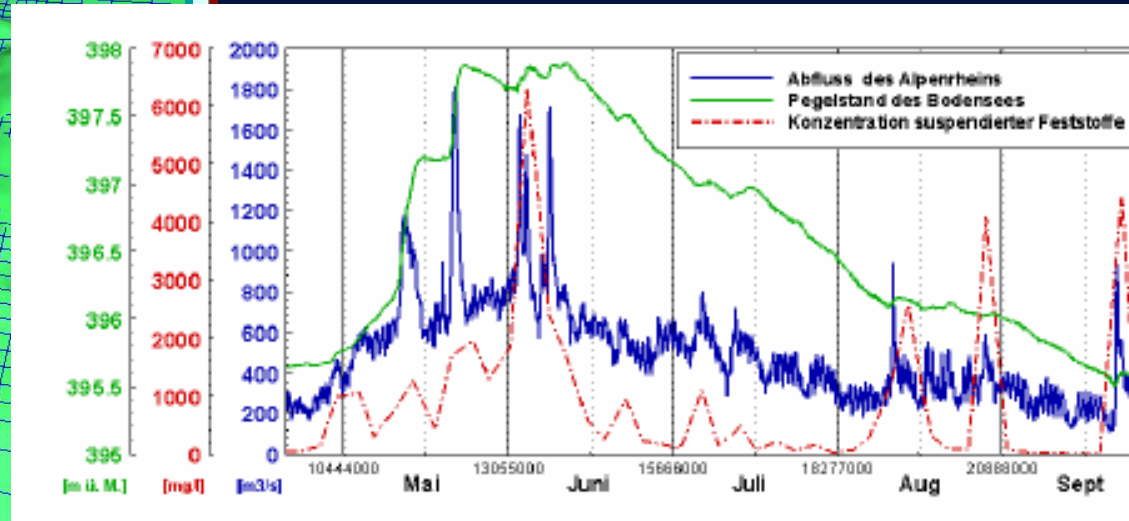
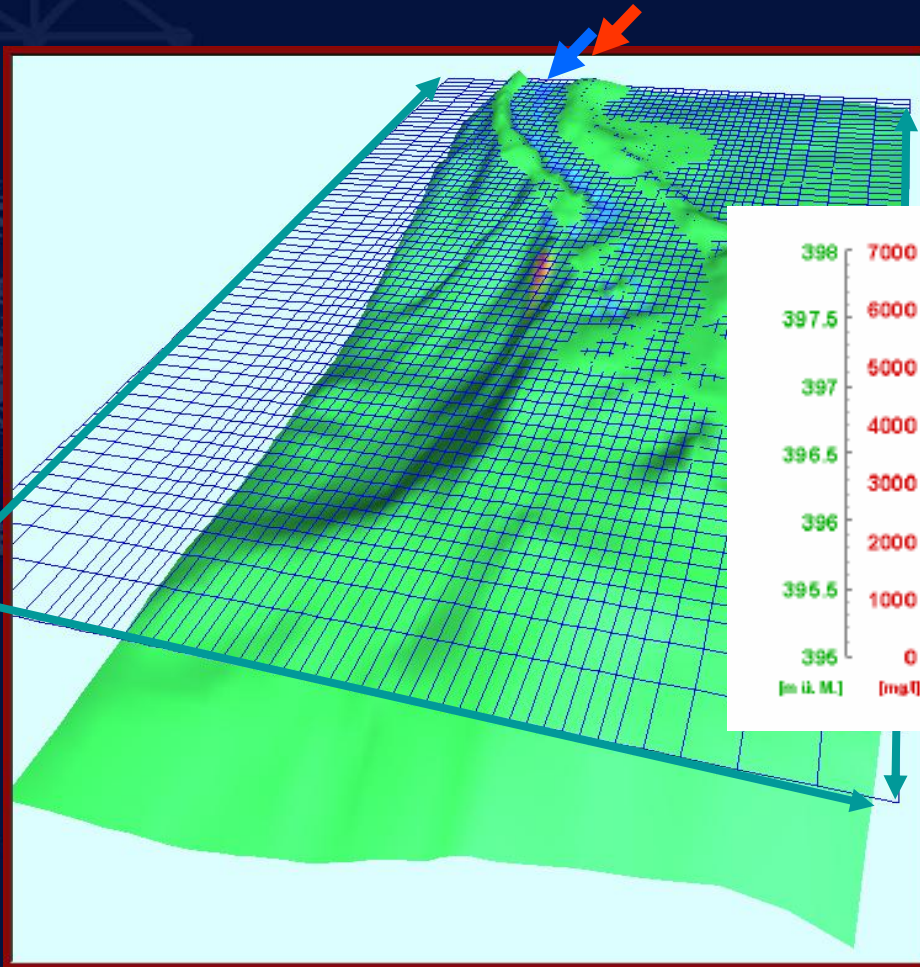
**Randbedingungen:  $Q(t)$ ,  $Q_s(t)$**

- **Hydrologie**
- **Sedimentzufluss ?**

**→ RB beinhalten grösste Unsicherheit**



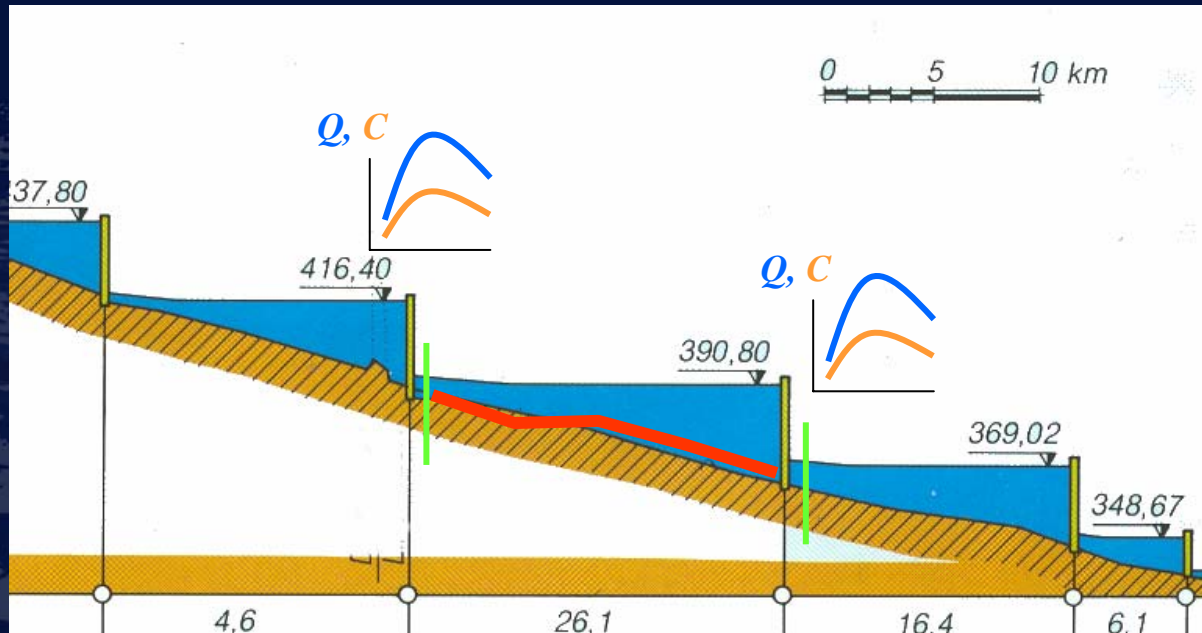
# Randbedingungen



Typ der RB: Charakteristiken > schiessen/strömen



## Probleme bei Messung der Feststoffe



→ Grosse Abweichungen in der Bilanz !



# Schwebstoffbeziehung

$$C = a Q^b$$

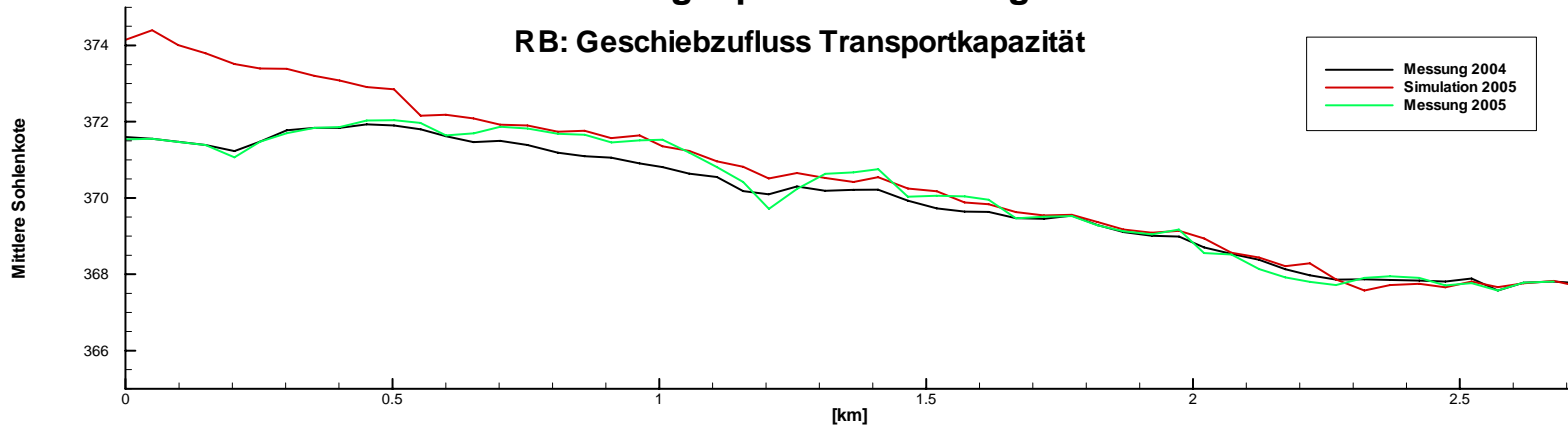
Konzentration [g/m <sup>3</sup> ]	Abfluss [m <sup>3</sup> /s]	Datum
8091	453	1.09.92
6794	704	1.10.91
5938	521	14.09.93
5342	848	25.08.87
5109	545	2.09.88
4599	799	15.10.93
3682	1352	16.06.87



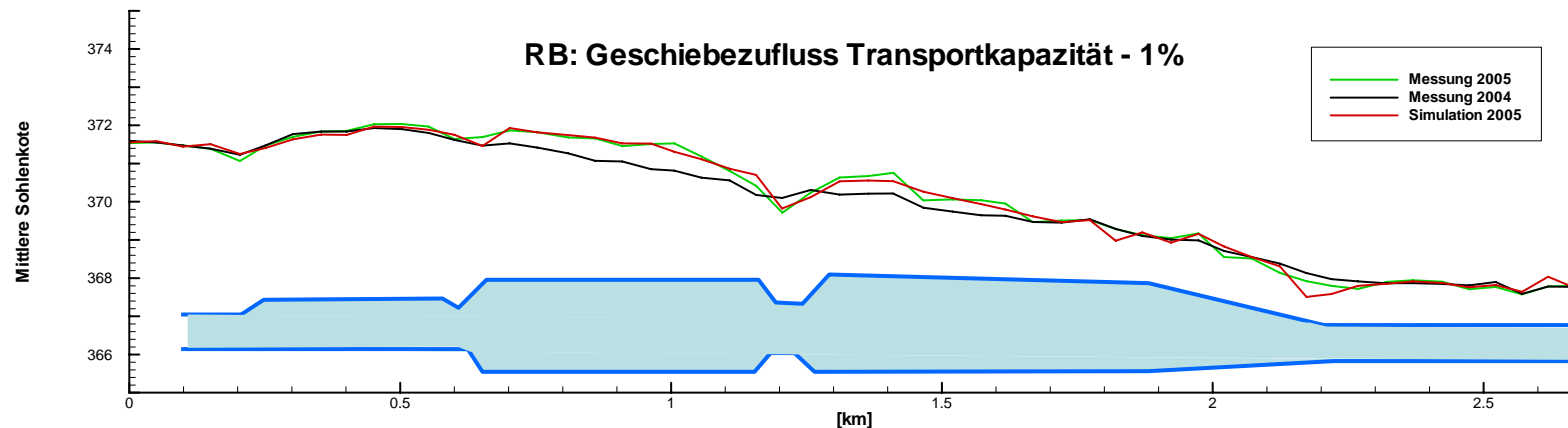
# Randbedingung Geschiebe

Thur: Längenprofil Aufweitung Altikon

RB: Geschiebezuffluss Transportkapazität



RB: Geschiebezuffluss Transportkapazität - 1%



→ RB Feststofftransport > sensitiv



## Mathematik → Numerik

$$\frac{\partial u}{\partial t} + \frac{\partial F(u)}{\partial x} = 0$$

explizit

implizit



Finite Differenzen

Finite Volumen

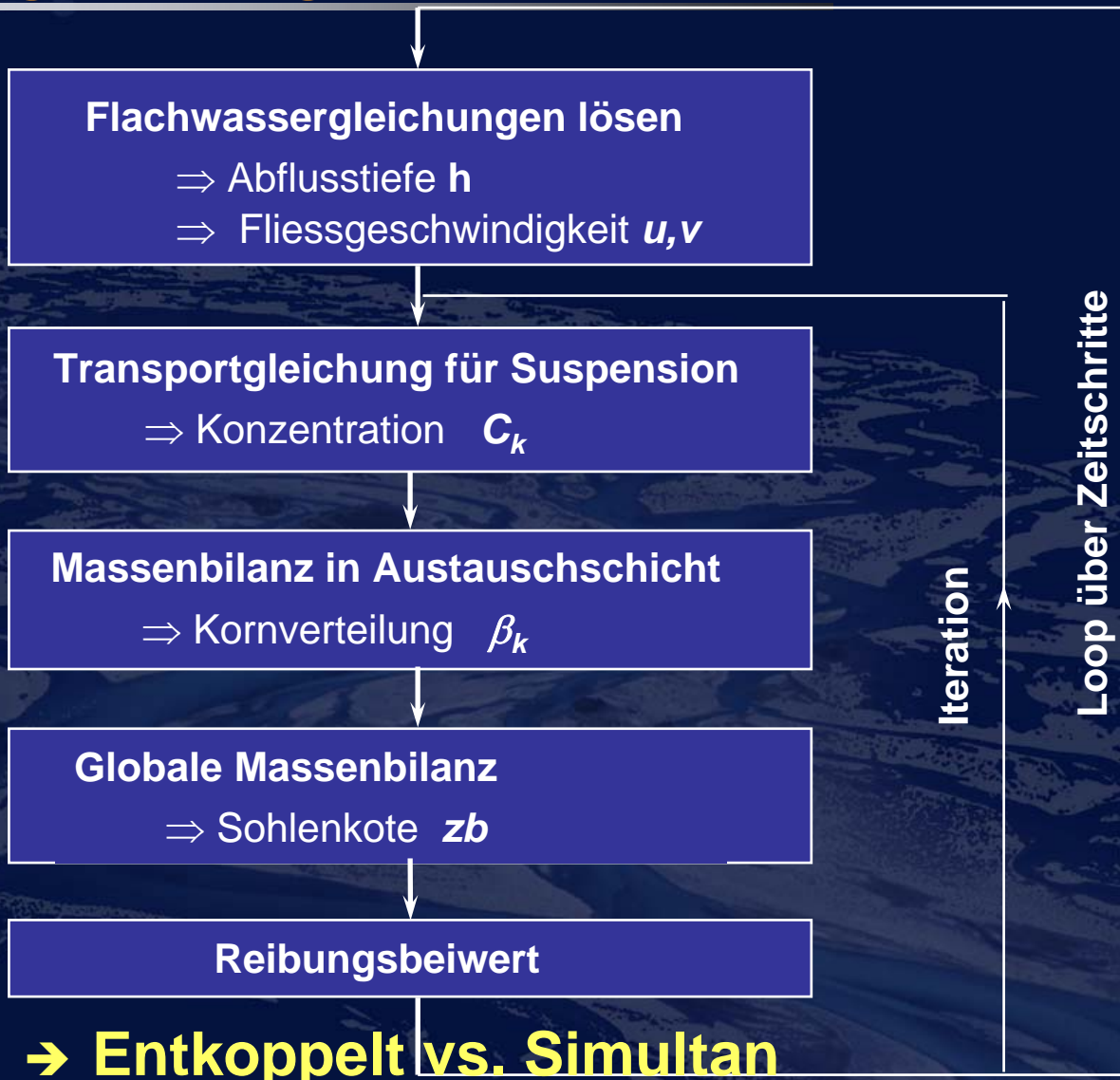
Finite Elemente

$$\frac{\Delta u}{\Delta t} + \frac{\Delta F(u)}{\Delta x} = 0$$

→ Welches ist das beste Verfahren ?



# Lösungsstrategie





# Grundsätzliches zu numerischen Methoden

**Zeitintegration**

**Räumliche Diskretisierung**

**Genauigkeit**

**Stabilität**

**Konvergenz**

**Modellgleichungen**

$$\frac{\partial u}{\partial t} + \frac{\partial F(u)}{\partial x} = 0$$

$$\frac{\partial u}{\partial t} + c \frac{\partial u}{\partial x} = 0$$

**Lineare Wellengleichung**





# Berechnungszeit

$$\Delta t = \frac{\Delta x}{V_{Ch}}$$

**Strömungsfeld**  $V_{Ch} = v \pm \sqrt{gh} \rightarrow 7 \text{ m/s}$

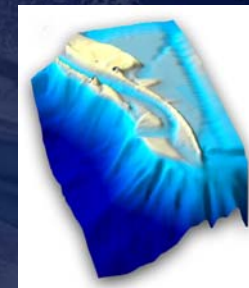
**Suspension**  $V_{Ch} = v \rightarrow 1 \text{ m/s}$

**Exnergl.**  $V_{Ch} = \frac{u \frac{df(u)}{du}}{h(1-Fr^2)} \rightarrow 1 \text{ km/year}$

**1d:**  $\Delta x = 50-200 \text{ m} \Rightarrow \Delta t = 10 \text{ s}$

**2d:**  $\Delta x = 5 - 30 \text{ m} \Rightarrow \Delta t = 1 \text{ s}$

**Geschiebehaushaltstudie ?  $\Rightarrow$  Parallelisieren**





# Mathematik → Numerik

$$\frac{\partial u}{\partial t} + \frac{\partial F(u)}{\partial x} = 0$$

explizit

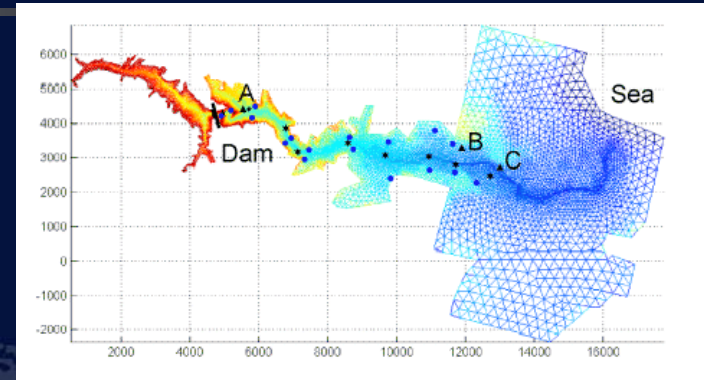
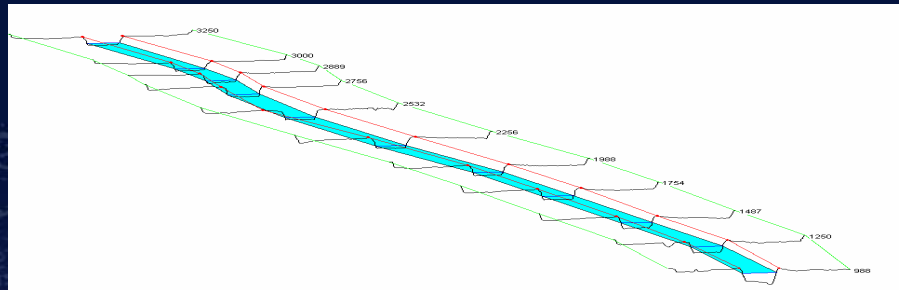
implizit

Finite Volumen

$$\frac{\Delta u}{\Delta t} + \frac{\Delta F(u)}{\Delta x} = 0$$

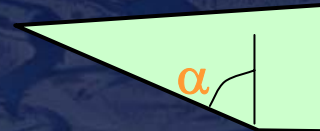


# Rechengitter



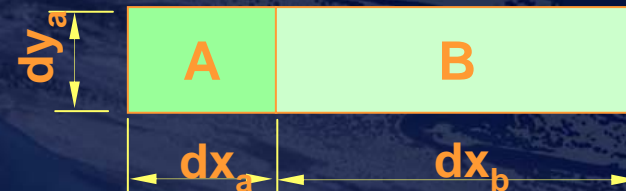
Gitterqualität: Genauigkeit und Konvergenz hängen ab von

- Orthogonalität



$$45^\circ < \alpha < 135^\circ$$

- aspect ratio:  $dx_b/dy_b < 2$

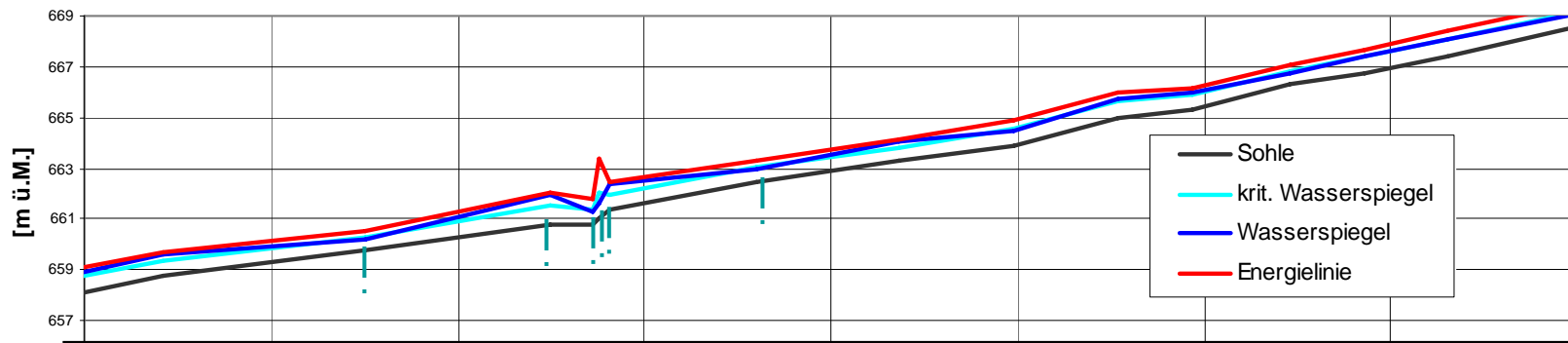


- expansion ratio:  $dx_b/dx_a < 1.2$

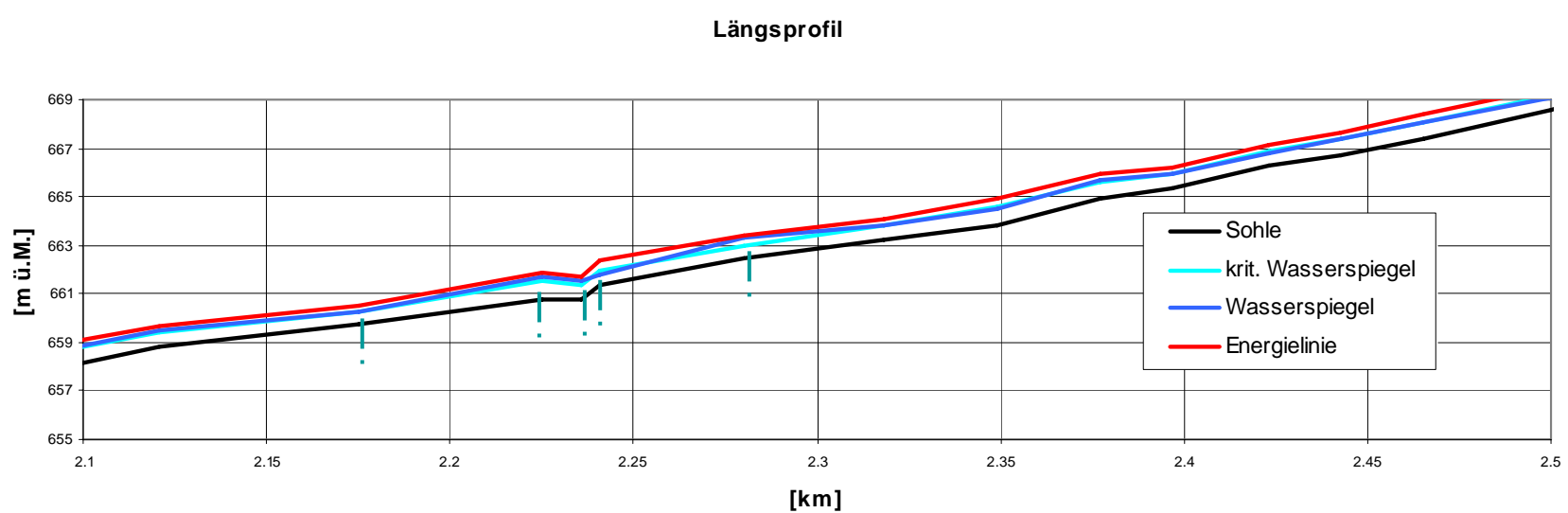


# Beispiel zum Thema Gitterqualität

Längsprofil



Längsprofil



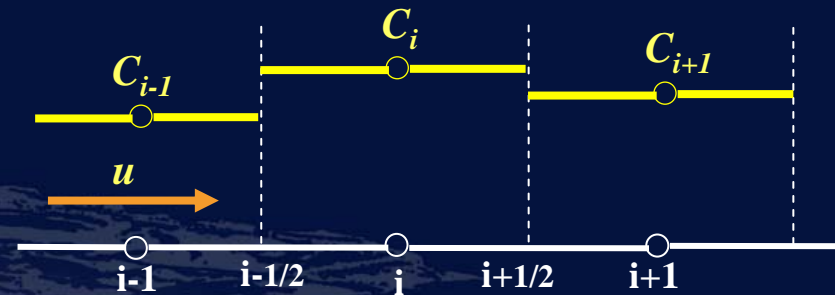


# Räumliche Diskretisierung

$$C_i^{n+1} = C_i^n + \frac{\Delta t}{\Delta x} \left( F_{i-1/2}^n - F_{i+1/2}^n \right)$$

## Fluss über Zellseite

$$F_{i+1/2}^n = f \left( C_{i-1}^n, C_i^n, C_{i+1}^n \right)$$



## Upwind scheme (1. Ord.)

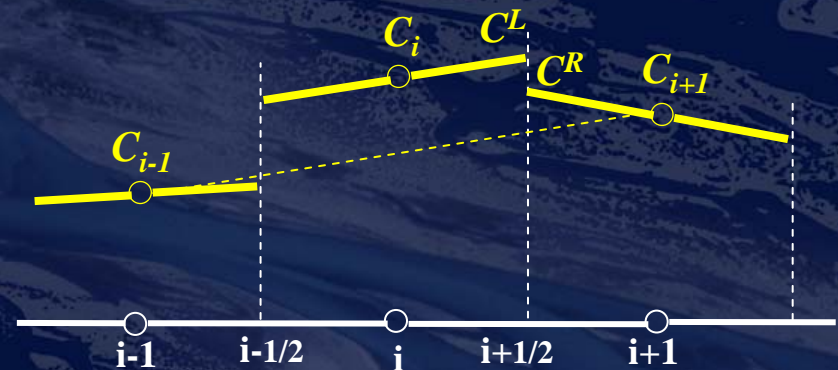
$$F_{i+1/2}^n = f \left( C_i^n \right) \quad \text{if } u > 0$$

$$F_{i+1/2}^n = f \left( C_{i+1}^n \right) \quad \text{if } u < 0$$

## Central scheme

$$F_{i+1/2}^n = 0.5 \left[ f \left( C_i^n \right) + f \left( C_{i+1}^n \right) \right]$$

## Higher order Upwind scheme





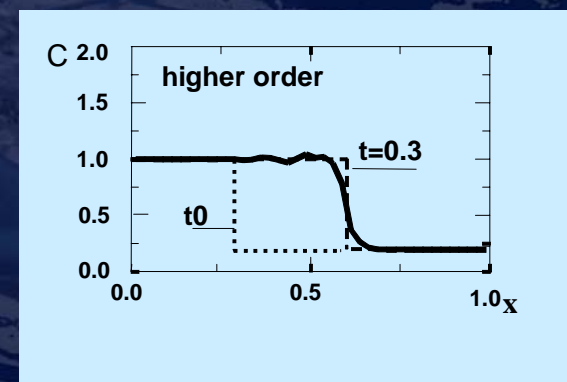
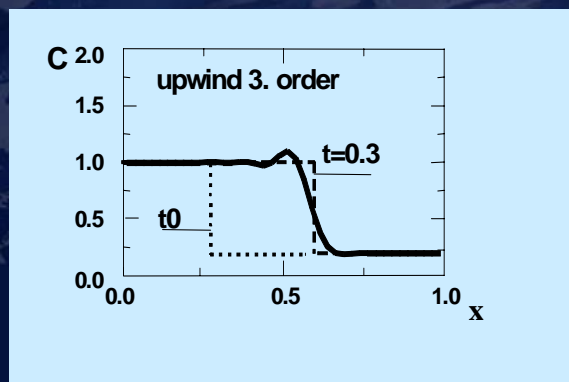
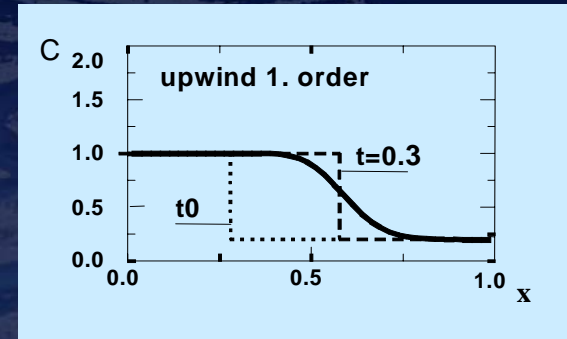
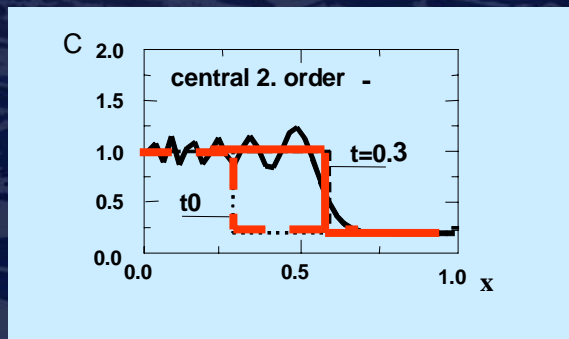
# Einfluss verschiedener Rechenschemen

$$\frac{\partial C}{\partial t} + u \frac{\partial C}{\partial x} = 0$$

mit Anfangsbedingung:  $C(x, 0) = 1$  für  $0 \leq x \leq 0.3$

$C(x, 0) = 0.2$  für  $0.3 < x \leq 1.0$

und Randbedingung:  $C(0, x) = 1.0$  und  $u(0, t) = \text{konst.} = 1.0$





# Zur Genauigkeit von Rechenschemen

$$\frac{\partial u}{\partial t} + c \frac{\partial u}{\partial x} = 0$$

$$u(x_i, t_n)$$

Richtige Lösung

$$U_i^n$$

Näherungs Lösung

$$\frac{U_i^{n+1} - U_i^n}{\Delta t} + c \frac{U_{i+1}^n - U_{i-1}^n}{2\Delta x} = 0$$

$$U_i^{n+1} = u + \Delta x \cdot u_x + \frac{\Delta x^2}{2} u_{xx} + \frac{\Delta x^3}{6} u_{xxx} + \dots$$

$$U_{i-1}^n = u - \Delta x \cdot u_x + \frac{\Delta x^2}{2} u_{xx} - \frac{\Delta x^3}{6} u_{xxx} + \dots$$

$$U_i^{n+1} = u + \Delta t \cdot u_t + \frac{\Delta t^2}{2} u_{tt} + \dots$$

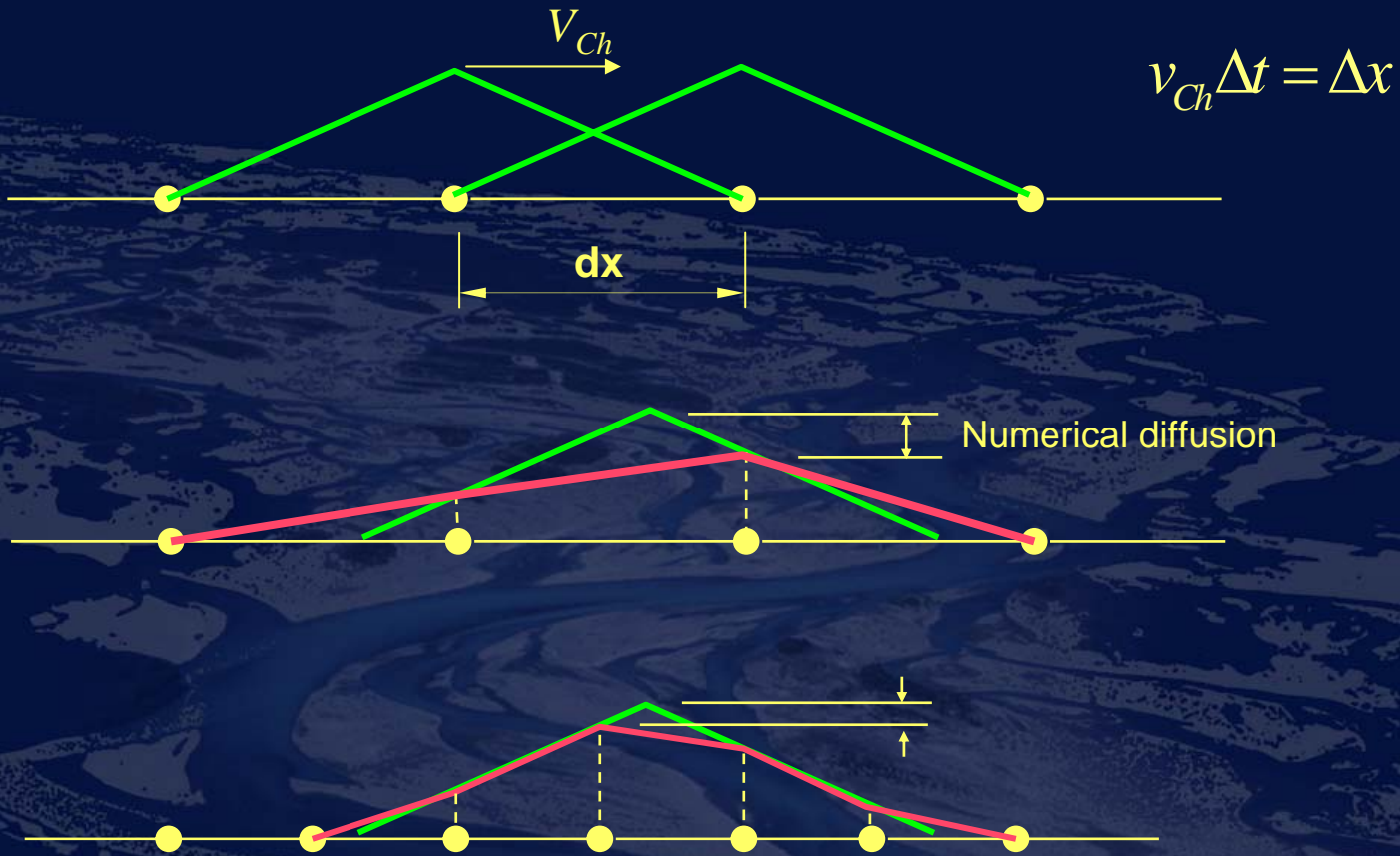
$$\frac{\partial u}{\partial t} + c \cdot \frac{\partial u}{\partial x} = \underbrace{-\frac{\Delta t}{2} u_{tt} - \frac{\Delta x^2}{6} u_{xx} + \dots}_{\text{Abbruchfehler}}$$

Fehler (numerische Diffusion)  
proportional zu  $\Delta t$  und  $\Delta x^2$

1. Ordnung in der Zeit
2. Ordnung im Raum



# Numerische Diffusion: Einfluss Gitter





# Schlussbemerkungen

**Modell: Physik**

⇒ **Mathematik**

⇒ **Numerik**

⇒ **Randbed.**

**Ermessensspielraum ⇒ Erfahrung**

**Keep it simple!**



*Danke*

---



Roland Fäh  
faeh@vaw.baug.ethz.ch